

УДК 531.38

©2009. А.Ю. Савушкин, И.И. Харламова

БИФУРКАЦИОННЫЕ ДИАГРАММЫ ИНТЕГРАЛЬНЫХ ОТОБРАЖЕНИЙ ВОЛЧКА С СИНГУЛЯРНОЙ СИММЕТРИЕЙ

В общем случае гамильтонова система с тремя степенями свободы, описывающая движение твердого тела в поле двух постоянных сил, не допускает групп симметрий. Х. Яхья нашел условия, при которых уравнения движения гиростата Ковалевской в поле такого вида имеют, в дополнение к интегралу энергии, интеграл, линейный по компонентам угловой скорости. Позднее было отмечено, что в двойном силовом поле этот интеграл при условиях Яхья существует для любого динамически симметричного тела с центрами приложения полей в экваториальной плоскости. Соответствующая система является натуральной механической системой с S^1 -симметрией, поэтому можно ставить вопрос о реализации программы С. Смейла топологического анализа. В то же время, эта симметрия обладает некоторым множеством особых точек и, следовательно, не является регулярной. В настоящей работе строятся бифуркационные диаграммы отображения момента для семейства систем с сингулярной симметрией и исследуется зависимость диаграмм от единственного существенного параметра – отношения экваториального и осевого моментов инерции.

Введение. Уравнения движения твердого тела вокруг неподвижной точки в двух постоянных силовых полях (например, гравитационном и магнитном) в подвижных осях имеют вид

$$\begin{aligned} \frac{d\mathbf{M}}{dt} &= \mathbf{M} \times \boldsymbol{\omega} + \mathbf{r}_1 \times \boldsymbol{\alpha} + \mathbf{r}_2 \times \boldsymbol{\beta}, \\ \frac{d\boldsymbol{\alpha}}{dt} &= \boldsymbol{\alpha} \times \boldsymbol{\omega}, \quad \frac{d\boldsymbol{\beta}}{dt} = \boldsymbol{\beta} \times \boldsymbol{\omega}. \end{aligned} \quad (1)$$

Здесь \mathbf{M} – кинетический момент, $\boldsymbol{\omega} = \mathbf{M}\mathbf{I}^{-1}$ – угловая скорость, \mathbf{I} – тензор инерции в закрепленной точке O . Векторы $\boldsymbol{\alpha}, \boldsymbol{\beta}$ представляют собой напряженности силовых полей. В соответствии со второй группой уравнений (1) эти векторы неизменны в инерциальном пространстве. Постоянные в теле векторы $\mathbf{r}_1, \mathbf{r}_2$ есть радиус-векторы центров приложения полей. Для дальнейшего нам удобно трактовать все векторы как строки, чем и обусловлена запись тензора справа от вектора.

Ограничение системы (1) на любой невырожденный уровень $P^6(a, b, c)$ трех геометрических интегралов

$$|\boldsymbol{\alpha}|^2 = a^2, \quad |\boldsymbol{\beta}|^2 = b^2, \quad \boldsymbol{\alpha} \cdot \boldsymbol{\beta} = c \quad (|c| < ab) \quad (2)$$

в пространстве $\mathbb{R}^9(\boldsymbol{\alpha}, \boldsymbol{\beta}, \mathbf{M})$ является гамильтоновой системой с тремя степенями свободы по отношению к скобке Ли – Пуассона [1], для которой геометрические интегралы служат функциями Казимира. Функция Гамильтона такова

$$H = \frac{1}{2} \mathbf{M} \cdot \boldsymbol{\omega} - \mathbf{r}_1 \cdot \boldsymbol{\alpha} - \mathbf{r}_2 \cdot \boldsymbol{\beta}. \quad (3)$$

Пусть $O\mathbf{e}_1\mathbf{e}_2\mathbf{e}_3$ – ортонормированный базис главных осей инерции. Предположим, что главные моменты инерции удовлетворяют отношению Ковалевской 2:2:1, а векторы $\mathbf{r}_1, \mathbf{r}_2$ параллельны экваториальной плоскости $O\mathbf{e}_1\mathbf{e}_2$ и образуют ортонормированную пару. Тогда, очевидно, можно полагать без ограничения общности, что $\mathbf{e}_1 = \mathbf{r}_1, \mathbf{e}_2 = \mathbf{r}_2$. При этих условиях в работе [1] в дополнение к H найден первый интеграл K , обобщающий интеграл Ковалевской. Если в то же время

$$a = b, \quad c = 0, \quad (4)$$

то имеет место случай Яхья [2]; система допускает S^1 -симметрию и поэтому приводима к семейству интегрируемых систем с двумя степенями свободы. Ввиду особенностей действия группы приведенные системы определены не глобально. Интеграл момента (гамильтониан действия группы) имеет вид

$$L = \mathbf{M} \cdot (\boldsymbol{\gamma} - a^2\mathbf{e}_3), \quad (5)$$

где $\boldsymbol{\gamma} = \boldsymbol{\alpha} \times \boldsymbol{\beta}$.

На самом деле, как показано в [3], интеграл (5) имеет более общую природу. Пусть тензор инерции имеет ось симметрии $O\mathbf{e}_3$, отношение экваториального момента инерции к осевому произвольно, радиус-векторы центров приложения также произвольны с одним лишь условием параллельности экваториальной плоскости

$$\mathbf{r}_1 \cdot \mathbf{e}_3 = 0, \quad \mathbf{r}_2 \cdot \mathbf{e}_3 = 0. \quad (6)$$

Пусть D – невырожденная 2×2 -матрица. Преобразование

$$\left\| \begin{array}{c} \mathbf{r}_1 \\ \mathbf{r}_2 \end{array} \right\| \mapsto D \left\| \begin{array}{c} \mathbf{r}_1 \\ \mathbf{r}_2 \end{array} \right\|, \quad \left\| \begin{array}{c} \boldsymbol{\alpha} \\ \boldsymbol{\beta} \end{array} \right\| \mapsto (D^{-1})^T \left\| \begin{array}{c} \boldsymbol{\alpha} \\ \boldsymbol{\beta} \end{array} \right\|, \quad \mathbf{M} \mapsto \mathbf{M}$$

сохраняет уравнения (1) и функцию (3), приводя к эквивалентной системе. Постоянные симметричные матрицы

$$R = \left\| \begin{array}{cc} \mathbf{r}_1 \cdot \mathbf{r}_1 & \mathbf{r}_1 \cdot \mathbf{r}_2 \\ \mathbf{r}_2 \cdot \mathbf{r}_1 & \mathbf{r}_2 \cdot \mathbf{r}_2 \end{array} \right\|, \quad A = \left\| \begin{array}{cc} \boldsymbol{\alpha} \cdot \boldsymbol{\alpha} & \boldsymbol{\alpha} \cdot \boldsymbol{\beta} \\ \boldsymbol{\beta} \cdot \boldsymbol{\alpha} & \boldsymbol{\beta} \cdot \boldsymbol{\beta} \end{array} \right\|^{-1}$$

преобразуются по закону $R \mapsto DRD^T, A \mapsto DAD^T$. Существует $D \in GL(2, \mathbb{R})$ такая, что R становится единичной, а A – диагональной ($c = 0$). Очевидно, свойство (6) сохраняется и для новой, но уже ортонормированной пары $\mathbf{r}_1, \mathbf{r}_2$. Следовательно, она может быть выбрана в качестве главного базиса инерции в экваториальной плоскости

$$\mathbf{e}_1 = \mathbf{r}_1, \quad \mathbf{e}_2 = \mathbf{r}_2.$$

Таким образом, изначальное требование ортонормированности радиус-векторов центров приложения и ортогональности полей является излишним, так

как система всегда приводится линейной заменой переменных с постоянными коэффициентами к системе, у которой пара $\mathbf{r}_1, \mathbf{r}_2$ ортонормирована, а $\boldsymbol{\alpha}, \boldsymbol{\beta}$ – ортогональна. Такая замена впервые предложена в работе [4] и известна как параметрическая редукция для двух постоянных полей.

Предположим, что *после* редукции получено условие $a = b$. Тогда выполнены условия (4) без дополнительных ограничений на моменты инерции. Пусть

$$T(\tau) = \begin{vmatrix} \cos \tau & \sin \tau & 0 \\ -\sin \tau & \cos \tau & 0 \\ 0 & 0 & 1 \end{vmatrix}.$$

Однопараметрическое действие $g_\tau : \mathbb{R}^9(\boldsymbol{\alpha}, \boldsymbol{\beta}, \mathbf{M}) \rightarrow \mathbb{R}^9(\boldsymbol{\alpha}, \boldsymbol{\beta}, \mathbf{M})$, определенное как

$$g_\tau \left(\begin{vmatrix} \boldsymbol{\alpha} \\ \boldsymbol{\beta} \\ \mathbf{M} \end{vmatrix} \right) = T(\tau) \begin{vmatrix} \boldsymbol{\alpha} \\ \boldsymbol{\beta} \\ \mathbf{M} \end{vmatrix} T(-\tau), \quad (7)$$

сохраняет систему (1), гамильтониан H , а также имеет инвариантное многообразие $P^6(a, a, 0)$. Следовательно, $\{g_\tau\} \cong S^1$ – группа симметрий. Соответствующий циклический интеграл совпадает с (5) [3].

Обозначим через n отношение экваториального момента инерции к осевому. Единицы изменения выберем так, чтобы $\mathbf{I} = \text{diag}\{n, n, 1\}$, $a = 1$. Далее пространство $P^6(1, 1, 0)$ обозначаем для краткости через P^6 . Первые интегралы уравнений (1) на P^6 таковы

$$H = \frac{1}{2} [n(\omega_1^2 + \omega_2^2) + \omega_3^2] - \alpha_1 - \beta_2,$$

$$L = n[\omega_1(\alpha_2\beta_3 - \alpha_3\beta_2) + \omega_2(\alpha_3\beta_1 - \alpha_1\beta_3)] + \omega_3(\alpha_1\beta_2 - \alpha_2\beta_1 - 1).$$

Обозначим матрицу со строками $\boldsymbol{\alpha}, \boldsymbol{\beta}, \boldsymbol{\alpha} \times \boldsymbol{\beta}$ через Q . Очевидно, отображение $(\boldsymbol{\alpha}, \boldsymbol{\beta}, \mathbf{M}) \mapsto (Q, \boldsymbol{\omega})$ есть диффеоморфизм P^6 на $TSO(3)$. Система (1), ограниченная на P^6 , является поэтому натуральной механической системой на $SO(3)$ с S^1 -симметрией в смысле [5]. Программа Смейла топологического анализа этой системы может быть выполнена с некоторыми модификациями, учитывающими тот факт, что действие группы обладает множеством неподвижных точек $\boldsymbol{\alpha} \times \boldsymbol{\beta} = \mathbf{e}_3$ (однопараметрическая подгруппа действует на $SO(3)$ внутренними автоморфизмами, поэтому она сама, будучи коммутативной, является множеством неподвижных точек). В настоящей работе решается задача вычисления бифуркационной диаграммы Σ отображения момента

$$J = L \times H : P^6 \rightarrow \mathbb{R}^2.$$

Также предъявляются различные типы диаграмм Σ в зависимости от параметра n . Напомним, что по определению Σ состоит из точек $(\ell, h) \in \mathbb{R}^2$, над окрестностями которых отображение J не является локально тривиальным. Поэтому интегральные многообразия

$$J_{\ell, h} = \{\zeta \in P^6 : L(\zeta) = \ell, H(\zeta) = h\}$$

претерпевают топологические перестройки, когда (ℓ, h) пересекает Σ . В частности, нахождение множества Σ является необходимым этапом топологического анализа задачи. Диаграмма Σ совпадает с множеством критических значений J ввиду компактности изоэнергетических уровней.

1. Критические точки первых интегралов. Воспользуемся заменой переменных, введенной в [6] и обобщающей замену С.Ковалевской на случай двух силовых полей ($i^2 = -1$):

$$\begin{aligned} x_1 &= (\alpha_1 - \beta_2) + i(\alpha_2 + \beta_1), & x_2 &= (\alpha_1 - \beta_2) - i(\alpha_2 + \beta_1), \\ y_1 &= (\alpha_1 + \beta_2) + i(\alpha_2 - \beta_1), & y_2 &= (\alpha_1 + \beta_2) - i(\alpha_2 - \beta_1), \\ z_1 &= \alpha_3 + i\beta_3, & z_2 &= \alpha_3 - i\beta_3, \\ w_1 &= \omega_1 + i\omega_2, & w_2 &= \omega_1 - i\omega_2, \\ w_3 &= \omega_3. \end{aligned} \quad (8)$$

Условия (2) на P^6 принимают вид

$$z_1^2 + x_1y_2 = 0, \quad z_2^2 + x_2y_1 = 0, \quad x_1x_2 + y_1y_2 + 2z_1z_2 = 4. \quad (9)$$

Введем переменные x, y, z , полагая

$$x^2 = x_1x_2, \quad y^2 = y_1y_2, \quad z^2 = z_1z_2,$$

и примем следующее соглашение о знаках:

$$x \geq 0, \quad \operatorname{sgn} y = \operatorname{sgn} \operatorname{Re}(y_i). \quad (10)$$

Тогда

$$z^2 = \pm xy, \quad (x \pm y)^2 = 4, \quad x \in [0, 2]. \quad (11)$$

При исследовании критических точек различных функций на P^6 для того, чтобы избежать введения неопределенных множителей Лагранжа для ограничений (9), удобно использовать уравнения, предложенные в работе [7].

Лемма. Пусть f – гладкая функция комплексных переменных (8). Критические точки ограничения функции f на подмногообразии, определенное уравнениями (9), описываются системой уравнений

$$\begin{aligned} \partial_{w_1} f &= 0, & \partial_{w_2} f &= 0, & \partial_{w_3} f &= 0, \\ (2z_2\partial_{x_2} + 2z_1\partial_{y_2} - x_1\partial_{z_1} - y_1\partial_{z_2})f &= 0, \\ (2z_1\partial_{x_1} + 2z_2\partial_{y_1} - x_2\partial_{z_2} - y_2\partial_{z_1})f &= 0, \\ (x_1\partial_{x_1} - x_2\partial_{x_2} + y_1\partial_{y_1} - y_2\partial_{y_2})f &= 0. \end{aligned} \quad (12)$$

Пусть \mathcal{C} – множество критических точек интегрального отображения J . Тогда $\mathcal{C} = \mathcal{C}^0 \cup \mathcal{C}^1$, где $\mathcal{C}^i = \{\zeta \in P^6 : \operatorname{rank} J(\zeta) = i\}$.

Вначале рассмотрим критические точки гамильтониана H . Они являются положениями равновесия в системе (1). Уравнения (12) с $f = H$ дают

$$w_1 = w_2 = w_3 = 0, \quad z_1 = z_2 = 0, \quad y_1 = y_2.$$

Из (11) следует, что в этом случае

$$xy = 0. \quad (13)$$

Если $x = 0$, то $y_1 = y_2 = \pm 2$. Получаем два положения равновесия

$$\begin{aligned} \omega = 0, \quad \alpha = \mathbf{e}_1, \quad \beta = \mathbf{e}_2; \\ \omega = 0, \quad \alpha = -\mathbf{e}_1, \quad \beta = -\mathbf{e}_2. \end{aligned}$$

Легко проверить, что оба они невырождены, первое – устойчиво, второе – неустойчиво. Соответствующие значения первых интегралов дают две точки в плоскости (ℓ, h) : $P_-(0, -2)$ и $P_+(0, 2)$. Если в (13) взять $y = 0$, то значения x_1, x_2 остаются произвольными в пределах условия $x_1x_2 = 4$. Следовательно, имеется целая окружность вырожденных безразличных положений равновесия, отвечающая точке $P_0(0, 0)$ в плоскости (ℓ, h) . С физической точки зрения это множество положений равновесия состоит из всех ориентаций тела, в которых экваториальная плоскость совпадает с плоскостью напряженностей сил $O\alpha\beta$ и последний базис имеет противоположную ориентацию с базисом $O\mathbf{e}_1\mathbf{e}_2$. При этом вращающий момент сил $\mathbf{e}_1 \times \alpha + \mathbf{e}_2 \times \beta$ тождественно равен нулю (все эти утверждения о положениях равновесия можно вывести также из результатов работы [8], где рассматривается случай трех постоянных полей и его вырождения).

Найдем критические точки интеграла L , записав уравнения (12) с $f = L$:

$$\begin{aligned} x_2z_1 - y_2z_2 = 0, \quad y_1z_1 - x_1z_2 = 0, \quad x_1x_2 - y_1y_2 = -4, \\ 2nw_1 + (y_1z_1 - x_1z_2)w_3 = 0, \quad 2nw_2 + (y_2z_2 - x_2z_1)w_3 = 0. \end{aligned}$$

С учетом (9) получим

$$w_1 = w_2 = 0, \quad z_1 = z_2 = 0, \quad x_1 = x_2 = 0, \quad y_1y_2 = 4.$$

Пусть $y_1 = 2 \exp(-i\psi)$, $y_2 = 2 \exp(i\psi)$. Тогда из (8), (1) находим

$$\begin{aligned} \alpha = \mathbf{e}_1 \cos \psi - \mathbf{e}_2 \sin \psi, \quad \beta = \mathbf{e}_1 \sin \psi + \mathbf{e}_2 \cos \psi, \\ \omega_1 = \omega_2 = 0, \quad \omega_3 = \dot{\psi}, \quad \ddot{\psi} = -2 \sin \psi. \end{aligned} \quad (14)$$

Эти уравнения описывают множество точек, принадлежащих траекториям маятниковых движений около оси $O\gamma = O\mathbf{e}_3$, а последнее уравнение определяет соответствующую квадратуру. Значения первых интегралов таковы:

$$\ell = 0, \quad h = \frac{1}{2}\omega_3^2 - 2 \cos \psi \geq -2.$$

Отметим, что множество (14) включает и два невырожденных положения равновесия, но не содержит вырожденные равновесия $\gamma = -\mathbf{e}_3$. Поэтому в точках вырожденных равновесий $dL \neq 0$, и, следовательно, множество \mathcal{C}^0 состоит в точности из двух точек пространства P^6 . Естественно ожидать,

что существуют нетривиальные движения с $\gamma \equiv -\mathbf{e}_3$. Такое множество, если оно существует, не является критическим ни для одного из интегралов H, L . Эта возможность рассматривается в следующем параграфе.

2. Критические движения общего вида и значения интегралов.

Точки множества \mathcal{C} , не являющиеся критическими ни для одного из интегралов H или L , порождаются критическими движениями общего вида. Эти движения – периодические решения системы (1), являющиеся одновременно орбитами действия g_τ , у которых $\tau = \sigma t$ (σ – некоторая константа). Следовательно, выражения (7) с такой зависимостью $\tau(t)$ дают аналитическое решение для движений этого типа. Соответствующая часть множества \mathcal{C} описывается системой (12) при $f = H - \sigma L$. Первые три уравнения дают

$$\begin{aligned} w_1 &= -\frac{1}{2}(y_1 z_1 - x_1 z_2)\sigma, & w_2 &= -\frac{1}{2}(y_2 z_2 - x_2 z_1)\sigma, \\ w_3 &= -\frac{1}{4}(x^2 - y^2 + 4)\sigma. \end{aligned} \quad (15)$$

Для исходных переменных эти равенства выражают тот факт, что движения служат орбитами группы симметрий, т.е. пропорциональность угловой скорости движения угловой скорости вдоль орбиты действия группы:

$$\boldsymbol{\omega} = \sigma(\boldsymbol{\gamma} - \mathbf{e}_3).$$

Исключая w_j с помощью (15) из уравнений второй группы полученной из (12) системы, находим

$$y_1 = y_2, \quad (16)$$

$$\begin{aligned} x_1 z_2 u - (y_1 u - 8)z_1 &= 0, \\ x_2 z_1 u - (y_2 u - 8)z_2 &= 0. \end{aligned} \quad (17)$$

Для сокращения записи обозначено

$$u = [4 - (n - 1)(x^2 - y^2)]\sigma^2. \quad (18)$$

Отметим, что в соответствии с (16) и (10) здесь $y = y_1 = y_2$.

Система (17) линейна и однородна относительно z_1, z_2 . Предположим вначале, что $z_1 = z_2 = 0$. Из (15) получаем $w_1 = w_2 = 0$, а тогда из (11) следует, что выполнено одно из двух: либо $x = 0$, либо $y = 0$. Если $x = 0$, то $y^2 = 4$, и последнее уравнение (15) дает $w_3 = 0$. Это два невырожденных равновесия, изученных выше. В свою очередь, если положить $x \neq 0$, то $y = 0, x = 2$. Компонента w_3 остается произвольной. Для переменных в системе (1) имеем $\boldsymbol{\gamma} = -\mathbf{e}_3, \boldsymbol{\omega} = 2\sigma\mathbf{e}_3$. Эти движения являются равномерными вращениями вокруг третьей оси инерции, которая остается ортогональной плоскости сил, в то время как базисы $O\mathbf{e}_1\mathbf{e}_2$ и $O\boldsymbol{\alpha}\boldsymbol{\beta}$ задают противоположную ориентацию в этой плоскости. Значения первых интегралов $h = 2\sigma^2, \ell = 4\sigma$ заполняют параболу $h = \ell^2/8$.

Рассмотрим теперь случай $z_1 z_2 \neq 0$. Выразим первые интегралы в переменных (8):

$$\begin{aligned} L &= \frac{n}{4} [(x_2 z_1 - y_2 z_2) w_1 + (x_1 z_2 - y_1 z_1) w_2] - \frac{1}{4} (x^2 - y^2 + 4) w_3, \\ H &= \frac{1}{2} (n w_1 w_2 + w_3^2) - \frac{1}{2} (y_1 + y_2). \end{aligned}$$

Тогда из (15), (16), (11) находим значения

$$\begin{aligned} \ell &= \frac{\sigma}{16} \{16 + 8[(n+1)x^2 + (n-1)y^2] - (2n-1)(x^2 - y^2)^2\}, \\ h &= -y + \frac{\sigma}{2} \ell, \\ y &= \pm(2-x), \quad x \in [0, 2]. \end{aligned} \tag{19}$$

Ненулевые решения системы (17) по z_1, z_2 существуют, если

$$[(x+y)u - 8][(x-y)u + 8] = 0.$$

Отсюда, подставляя значение u из (18), получаем

$$\sigma^2 = \frac{\operatorname{sgn} y}{n - (n-1)x} \quad \text{или} \quad \sigma^2 = \frac{\operatorname{sgn} y}{(1-x)[n - (n-1)x]}.$$

Эти выражения вместе с (19) определяют значения ℓ, h на бифуркационной диаграмме как функции от одного параметра x . Допустимые значения x вырезаются из базового отрезка $[0, 2]$ соответствующим условием $\sigma^2(x) \geq 0$.

3. Бифуркационная диаграмма. Обозначим

$$\begin{aligned} \varphi_0(x) &= x[2n - (n-1)x], \\ \varphi_1(x) &= n - (n-1)x, & \varphi_2(x) &= (1-x)\varphi_1(x), \\ h_1(x) &= -\frac{5}{2} + \frac{3}{2}x + \frac{n+x}{2\varphi_1(x)}, & h_2(x) &= -\frac{5}{2} + x + \frac{n+x}{2\varphi_2(x)}. \end{aligned} \tag{20}$$

Следующая теорема суммирует сказанное выше.

Теорема. *Бифуркационная диаграмма Σ отображения момента для динамически симметричного волчка в S^1 -симметричной паре постоянных си-*

ловых полей состоит из следующих подмножеств плоскости (ℓ, h) :

$$\begin{aligned}\delta_0 &= \{P_-, P_+, P_0\}, & \delta_1 &= \{\ell = 0 : h \geq -2\}, \\ \delta_2 &= \{h = \frac{1}{8}\ell^2 : \ell \in \mathbb{R}\}, \\ \delta_3 &= \{\ell = \pm \frac{\varphi_0(x)}{\sqrt{\varphi_1(x)}}, h = h_1(x) : x \in I_3\}, \\ \delta_4 &= \{\ell = \pm \frac{\varphi_0(x)}{\sqrt{\varphi_2(x)}}, h = h_2(x) : x \in I_4\}, \\ \delta_5 &= \{\ell = \pm \frac{\varphi_0(x)}{\sqrt{-\varphi_1(x)}}, h = -h_1(x) : x \in I_5\}, \\ \delta_6 &= \{\ell = \pm \frac{\varphi_0(x)}{\sqrt{-\varphi_2(x)}}, h = -h_2(x) : x \in I_6\},\end{aligned}$$

где

$$\begin{aligned}I_3 &= \begin{cases} [0, 2], & n < 2 \\ \left[0, \frac{n}{n-1}\right], & n \geq 2 \end{cases}, & I_4 &= \begin{cases} [0, 2), & n \leq 2 \\ \left[0, 1\right) \cup \left(\frac{n}{n-1}, 2\right], & n > 2 \end{cases}, \\ I_5 &= \begin{cases} \emptyset, & n \leq 2 \\ \left(\frac{n}{n-1}, 2\right], & n > 2 \end{cases}, & I_6 &= \begin{cases} (1, 2], & n < 2 \\ \left(1, \frac{n}{n-1}\right), & n \geq 2 \end{cases}.\end{aligned}\tag{21}$$

ЗАМЕЧАНИЕ. Очевидно, что $\delta_0 \subset \delta_1$. Однако мы выделяем трехточечное множество δ_0 как порожденное состояниями равновесия тела. Отметим также, что параметр x на кривых $\delta_3 - \delta_6$ равен значению $\sqrt{(\alpha_1 - \beta_2)^2 + (\alpha_2 + \beta_1)^2}$, которое, тем самым, оказывается постоянным вдоль любой критической траектории.

4. Примеры диаграмм и зависимость от физического параметра. Рассматриваемая система, ее отображение момента и бифуркационная диаграмма зависят от безразмерной характеристики n , выражающей отношение экваториального момента инерции к осевому. Из выражений (21) для сегментов изменения x вдоль бифуркационных кривых следует, что значение $n = 2$, отвечающее случаю Яхья, разделяет принципиально различные типы диаграмм. Нетрудно проверить аналитически, что при $n < 2$ диаграммы не претерпевают качественных изменений. Даже в случае $n = 1$ при наличии некоторых очевидных вырождений в выражениях (20), диаграмма топологически устроена так же, как и при близких значениях n . Типичная диаграмма для $0 < n < 2$ показана на рис. 1 (в силу симметрии относительно оси h иллюстрируется только часть $\ell \geq 0$).

Для значений $n > 2$ существует несколько типов бифуркационных диаграмм. Они различаются по количеству узлов (точек пересечения гладких

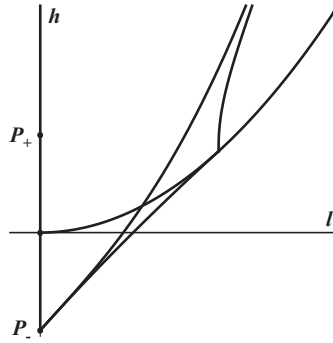


Рис. 1. Бифуркационная диаграмма при $n < 2$.

отрезков диаграммы, точек возврата и т.п.) и ячеек регулярности (связных компонент множества $\mathbb{R}^2 \setminus \Sigma$). Две диаграммы для случая $n > 2$ вместе с увеличенными фрагментами показаны на рис. 2. Здесь для примера взяты значения а) $n = 2.3$; б) $n = 4$.

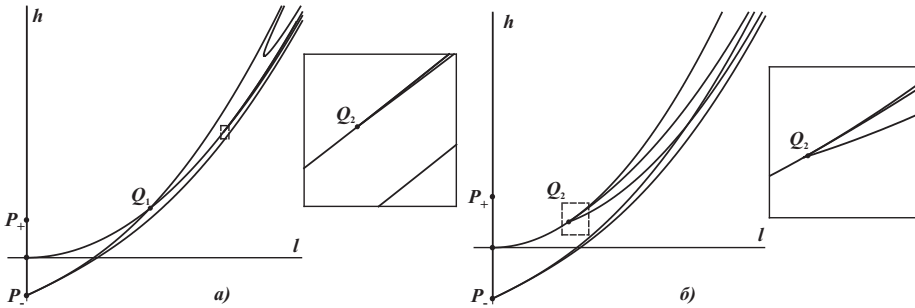


Рис. 2. Бифуркационные диаграммы при $n > 2$.

Основные разделяющие значения n можно найти аналитически. Рассмотрим, например, точку Q_1 пересечения кривой δ_2 с первой ветвью кривой δ_4 ($x \in [0, 1)$). Она отмечена на рис. 2, а. Видно, что при переходе от выбранного случая а) к случаю б) точка Q_1 исчезает. Соответствующее разделяющее значение параметра n обозначим через n_* . Для того чтобы найти это значение, заметим, что параметр x на кривой δ_4 в точке пересечения с δ_2 есть корень многочлена $P(x) = (n - 1)^3 x^3 - 2(n - 1)(n + 5)x^2 + 4(5n - 2)x - 8n$ на полуинтервале $[0, 1)$. Поскольку $P(0) = -8n$ и $P(1) = -(n + 1)(n - 3)$, пересечение существует для всех $n < n_* = 3$. Результат $P(x)$ и $P'(x)$ равен $256(n - 1)^4(n - 3)(n^4 - 5n^3 + 18n^2 + 2n + 11)$ и не обращается в нуль при $n > 3$. Следовательно, при $n > 3$ многочлен $P(x)$ имеет единственный вещественный корень, который всегда больше единицы. Итак, точка Q_1 не может возникнуть снова для значений $n > 3$.

На рис. 2 также отмечена всегда существующая при $n > 2$ точка Q_2 , в

которой встречаются кривые δ_2 , δ_5 и вторая ветвь кривой δ_4 . Она при некотором n пересекает первую ветвь кривой δ_4 . Очевидно, что при этом $Q_2 = Q_1$. Координаты Q_2 легко находятся из уравнений δ_4, δ_5 при $x = 2$:

$$l = \frac{4}{\sqrt{n-2}}, \quad h = \frac{2}{n-2}.$$

Предположим, что $Q_2 \in \delta_4$ при $x \neq 2$, исключим x и получим уравнение $n^4 - 3n^3 - 5n^2 + 20n - 11 = 0$, которое имеет ровно четыре вещественных корня. Разделяющий случай $Q_2 = Q_1$ отвечает наибольшему корню $n \approx 2.538$.

Итак, в дополнение к значению $n = 2$, при котором система интегрируема в целом, отмечены еще два значения n , когда бифуркационные диаграммы терпят перестройки. В том числе, особым значением является $n = 3$. Возможно, что этому соответствуют некоторые частные случаи интегрируемости.

Заключение. В работе рассмотрено однопараметрическое семейство механических систем с тремя степенями свободы, обладающих S^1 -симметрией с нетривиальным множеством особых точек. Получены уравнения бифуркационных диаграмм соответствующих отображений момента. Приведены некоторые примеры перестроек диаграмм, показывающие, что полная классификация всех диаграмм по физическому параметру n может оказаться нетривиальной задачей.

Из работ [2, 9, 10] следует, что дальнейшие обобщения имеют место для задачи о движении динамически симметричного гиростата в двух постоянных полях. Семейство диаграмм будет зависеть уже от двух физических параметров.

Если исключить из фазового пространство критическое интегральное многообразие $L = 0$, то оставшаяся система приводится к двум степеням свободы. Конфигурационное пространство – сфера с выколотой точкой – диффеоморфно \mathbb{R}^2 . Приведенный потенциал выписать несложно, но для нахождения интегральных многообразий необходимо вычислить индексы его особых точек. Сами особые точки фактически найдены выше. Топологический анализ выходит за рамки настоящей статьи и планируется в дальнейшем для гиростата с интегралом Яхья.

Как уже отмечалось, собственно в случае Яхья ($n = 2$) система допускает еще один интеграл K , найденный в фундаментальной работе О.И. Богоявленского [1] и обобщающий интеграл Ковалевской. В связи с этим, можно ставить задачу об исследовании бифуркационной диаграммы возникающего отображения

$$H \times L \times K : P^6 \rightarrow \mathbb{R}^3. \quad (22)$$

Эта диаграмма должна получиться как вырождение общих диаграмм, построенных для волчка Ковалевской–Реймана–Семенова–Тян–Шанского [9] в работе [4], с учетом возникающей связи обобщения интеграла площадей с интегралами H, L . Отметим, что для частного интеграла Богоявленского, указанного им на инвариантном многообразии $M^4 = \{K = 0\}$ (в случае Яхья интеграл Богоявленского совпадает с ограничением L на многообразии M^4),

бифуркационная диаграмма отображения $H \times L$ и топология системы с двумя степенями свободы на M^4 при условиях Яхья изучены в работе [11]. Показано, что в этом случае M^4 не является всюду гладким, и выявлены интегральные поверхности с самопересечениями (погруженные многообразия). Исследование отображения (22) позволит получить описание трехмерного слоения Лиувилля в случае Яхья, включающие найденные в [11] нетривиальные бифуркации как бифуркации внутри критических подсистем.

Работа выполнена при финансовой поддержке гранта РФФИ и Администрации Волгоградской области № 10-01-97001.

1. *Богоявленский О.И.* Интегрируемые уравнения Эйлера на алгебрах Ли, возникающие в задачах математической физики // Изв. АН СССР. Сер. матем. – 1984. – **48**, 5. – С. 883-938.
2. *Yehia H.M.* 1986 New integrable cases in the dynamics of rigid bodies // Mech. Res. Commun. – 1986. – **13**, 3. – P. 169-172.
3. *Kharlamov M.P.* Bifurcation diagrams of the Kowalevski top in two constant fields // Regular and Chaotic Dynamics. – 2005. – **10**, 4. – P. 381-398.
4. *Харламов М.П.* Критическое множество и бифуркационная диаграмма задачи о движении волчка Ковалевской в двойном поле // Механика твердого тела. – 2004. – № 34. – С. 47-58.
5. *Smale S.* Topology and mechanics // Inventiones Math. – 1970. – **10**, 4. – P. 305-331.
6. *Харламов М.П.* Один класс решений с двумя инвариантными соотношениями задачи о движении волчка Ковалевской в двойном постоянном поле // Механика твердого тела. – 2002. – № 32. – С. 32-38.
7. *Kharlamov M.P.* Periodic motions of the Kowalevski gyrostat in two constant fields // Journal of Physics A: Math. & Theor. – 2008. – **41**, 275207. – 13 p.
8. *Hassan S.Z., Kharrat B.N., Yehia H.M.* On the stability of the motion of a gyrostat about a fixed point under the action of non-symmetric fields // Eur. J. Mech. A/Solids. – 1997. – **18**. – P. 313-318.
9. *Рейман А.Г., Семенов-Тянь-Шанский М.А.* Лаксово представление со спектральным параметром для волчка Ковалевской и его обобщений // Функциональный анализ и его приложения. – 1988. – **22**, 2. – С. 87-88.
10. *Харламов М.П.* Критические подсистемы гиростата Ковалевской в двух постоянных полях // Нелинейная динамика. – 2007. – **3**, 3. – С. 331-348.
11. *Зотьев Д.Б.* Фазовая топология волчка Ковалевской в $SO(2)$ -симметричном двойном силовом поле // Механика твердого тела. – 2004. – № 34. – С. 66-71.